

УДК 535.37:537.311.33

Р.М. Пелешак, С.В. Рудницький

Дрогобицький державний педагогічний університет імені Івана Франка

**ЗМІНА ЗАПОВНЕННЯ ЕЛЕКТРОННИХ СТАНІВ ВЗДОВЖ
ОСІ НАДГРАТКИ GaAs-Si (δ), ЗУМОВЛЕНА
НЕУЗГОДЖЕНІСТЮ ПАРАМЕТРІВ**

© Пелешак Р.М., Рудницький С.В., 2003

R.M. Peleshak, S.V. Rudnitsky

**CHANGE OF ELECTRONIC STATES FILLING ALONG
SUPERLATTICE AXES GaAs-Si (δ) CAUSED BY MISMATCH OF
A LATTICE PARAMETERS**

© Peleshak R.M., Rudnitsky S.V., 2003

Розраховано зміни концентрації електронів у напрямку осі гетероструктури GaAs-Si(δ). Встановлено, що в центрі δ -шару створюється область збіднення і натомість на гетеромежі спостерігається підвищення концентрації електронів. Досліджено залежність зміни концентрації від параметра надгратки.

Change of a charge concentration in heterostructure GaAs-Si (δ) are investigated. It established, that the center of a δ -layer is area of poverty and on heteroborders there is a surplus of concentration of charges. The influence of parameters superlattice on concentration distribution is analyzed.

Вступ. У сучасних умовах для підвищення ефективності роботи НВЧ напівпровідникових пристроїв основними вимогами до їх елементів є висока концентрація носіїв, слабкі внутрішні поля і можливість отримання задовільних характеристик напівпровідникових пристроїв.

Особливий інтерес становлять низьковимірні структури з двовимірним електронним газом, а зокрема гетероструктури, котрі містять дельта(δ)-леговані шари [1]. Саме вони відповідають вищезазначеним вимогам. Вирощування таких структур сприяло отриманню високодосконалих епітаксійних плівок та дослідження їхніх електрофізичних і оптичних властивостей [2]. Цікавими також є дослідження низьковимірних структур з віцінальними межами розділення, що дозволяють отримувати в них δ -шарове латерально-модульоване легування і, отже, впливати на процеси переносу носіїв заряду [3,4].

Сфера застосування δ -легованих структур є широкою. Особливістю таких структур є висока концентрація двовимірних електронів. В основному теоретичний аналіз таких структур проводиться в межах розв'язку системи рівнянь Пуассона та Шредінгера, в якому враховується тільки електростатичний потенціал [1].

Найпопулярнішим матеріалом, який застосовується для створення δ -шарів для експериментальних досліджень, є GaAs, причому для донорних шарів в основному використовують домішку Si, а для акцепторних – Be [1]. Результати оптичних властивостей даних структур не вдається пояснити моделюванням потенціального профілю тільки електростатичним потенціалом [5-7].

Модель. У нашій роботі об'єктом дослідження вибрана гетероструктура, в якій матриця GaAs періодично δ-легована кремнієм. Ця структура складається з двох компонент, неузгодженість параметрів ґратки для яких становить $\approx 4\%$. Це викликає створення механічної напруженості на границі розподілу GaAs–Si(δ), яка зумовлює деформаційні ефекти, що суттєво впливають на її потенціальний профіль [8].

Для визначення потенціалу в такій структурі необхідно розв'язувати самоузгоджену систему рівнянь, що включає рівняння Пуассона і Шредінґера. У двовимірному випадку це спричиняє труднощі. Тому потенціальну енергію в напрямку, перпендикулярному до нарощуваного шару, ми моделювали періодичним δ-потенціалом, потужність якого визначається через деформаційні параметри. Це дозволяє обмежитися розв'язанням рівняння Шредінґера та граничними умовами, що впливають з неперервності та гладкості хвильових функцій.

Розрахунок перерозподілу електронної густини. Рівняння Шредінґера для носіїв має вигляд [9]:

$$\left[-\frac{\hbar^2}{2m_e^*} \nabla_{//}^2 - \frac{\hbar^2}{2m_e^*} \frac{\partial^2}{\partial z^2} + \frac{\hbar^2 \Omega}{m_e^*} \sum_m \delta\left(z - \frac{d}{2}(2m+1)\right) \right] \Psi(x, y, z) = E \Psi(x, y, z), \quad (1)$$

де m_e^* – ефективна маса електрона, $\nabla_{//}^2 = \frac{\partial^2}{\partial x^2} + \frac{\partial^2}{\partial y^2}$, $\Omega_e = \frac{\Delta V_{c\ mech} L_w}{2\alpha_e^*}$ – потужність

δ-потенціалу, m – номер δ-шару, $\Delta V_{c\ mech}$ – різниця між деформаційними потенціалами контактуючих компонент GaAs–Si, L_w – товщина δ-шару, d – період надґратки.

Оскільки хвильову функцію можна записати [9]:

$$\Psi_{n\vec{k}}(\vec{r}) = \frac{1}{\sqrt{2V}} e^{ik_{//}r_{//}} F_{nk_z}(z) \quad (2)$$

де V – нормуючий об'єм, F_{nk_z} – блохівська функція n -ї підзони надґратки, то після спрощення (1) для знаходження хвильової функції F_{nk_z} отримаємо

$$\left[-\frac{\hbar^2}{2m_{e(h)}^*} \frac{\partial^2}{\partial z^2} - \frac{\hbar^2 \Omega_{e(h)}}{m_{e(h)}^*} \sum_m \delta\left(z - \frac{d}{2}(2m+1)\right) \right] F_{nk_z}(z) = \varepsilon_{e(h)} F_{nk_z}(z) \quad (3)$$

де власне значення енергії $\varepsilon_{e(h)} = E - \frac{\hbar^2 k_{//}^2}{2m_{e(h)}^*}$. Для спрощення подальших розрахунків

позначимо $-2m_{e(h)}^* \varepsilon_{e(h)} / \hbar^2 = q_{e(h)}^2$.

При врахуванні неперервності та гладкості хвильової функції F_{nk_z} , отримаємо такий вигляд рівняння спектра [9]:

$$ch(q_{e(h)} d) - \frac{\Omega_{e(h)}}{q_{e(h)}} sh(q_{e(h)} d) = 1 \quad (4)$$

Загальний розв'язок такого рівняння призводить до енергетичного спектра

$$E_n = \frac{\hbar^2 k_{//}^2}{2m_e^*} - \frac{\hbar^2 q_n^2}{2m_e^*} + \Delta(1 - \cos k_z d) \quad (5)$$

де $2\Delta_n$ – ширина мінізони:

$$\Delta_n = \frac{\hbar^2}{2m^*} \frac{2q_n d}{sh(q_n d) \left[1 - \left(\frac{\Omega}{q_n} \right)^2 \left(1 - \frac{2}{\Omega d} \right) \right]} \quad (6)$$

Для розрахунку концентрації носіїв енергетичний спектр виражатимемо, проаналізувавши потенціальний профіль гетероструктури [9]:

$$E_n = E_c^{GaAs} + a_c^{GaAs} \cdot \varepsilon_{mech}^{GaAs} + \varepsilon_{ne} \quad (7)$$

де E_c^{GaAs} – енергетичний рівень дна зони провідності матриці, a_c^{GaAs} – константа деформаційного потенціалу, $\varepsilon_{mech}^{GaAs}$ – параметр деформації.

Хвильова функція для носіїв має вигляд

$$\Psi_{n\vec{k}}(\vec{r}) = \sum_{m=-\infty}^{\infty} \frac{A_{k_z}}{(2V)^{1/2}} e^{ik_z r_{//}} e^{ik_z m d} \left[e^{q(z-md)} - \frac{e^{ik_z d - qd/2} - e^{qd/2}}{e^{ik_z d + qd/2} - e^{-qd/2}} e^{-q(z-md)} \right], \quad (8)$$

Нормуючи хвильову функцію (8) отримаємо, що $A_{k_z} = \left(\frac{shq_n d}{q_n d} - \frac{1 - \cos k_z d}{chq_n d - \cos k_z d} \right)^{-1/2}$.

Блохівська функція F_{nk_z} має вигляд

$$F_{k_z}(z) = \sum_{m=-\infty}^{\infty} A_{k_z} e^{ik_z m d} \left[e^{q(z-md)} - \frac{e^{ik_z d - qd/2} - e^{qd/2}}{e^{ik_z d + qd/2} - e^{-qd/2}} e^{-q(z-md)} \right]. \quad (9)$$

З врахуванням періодичності для моделювання розподілу концентрації електронів використаємо формулу [10]:

$$n(z) = 2 \sum_k |F_{k_z}(z)|^2 n^{(2)}, \quad (10)$$

де $n^{(2)}$ – число носіїв в підзоні, що визначається з рівності рівнів Фермі у всіх заповнених зонах

$$E + \frac{\pi \hbar^2 n^{(2)}}{m^*_e} = E_0 + \frac{\pi \hbar^2 n_0^{(2)}}{m^*_e}, \quad (11)$$

де E_0 – дно зони провідності, зміщене на величину деформаційного потенціалу [9], $n_0^{(2)}$ – поверхнева рівноважна концентрація. Бачимо, що $n^{(2)}$ не залежить від k_z , тому (6) можна записати так:

$$n(z) = 2n^{(2)} \sum_k |F_{k_z}(z)|^2. \quad (12)$$

Концентрацію $n_0^{(2)}$ шукатимемо так:

$$n_0^{(2)} = a^{Si} \cdot n_0 = a^{Si} \cdot N_c^{Si} \cdot F_{1/2}(\eta) \quad (13)$$

де a^{Si} – стала ґратки, n_0 – рівноважна концентрація, N_c^{Si} – ефективна густина заповнення станів у зоні провідності, $F_{1/2}(\eta)$ – інтеграл Фермі, $\eta = \frac{F - E_c}{kT}$, F – рівень Фермі.

Результуючий рівень Фермі визначаємо так:

$$F = \frac{E_{c0}^{GaAs} + E_{v0}^{GaAs}}{2} + \frac{1}{2} \cdot kT \cdot \ln \left(\frac{N_v^{GaAs}}{N_c^{GaAs}} \right) - e\varphi_{GaAs}(z) \quad (14)$$

при граничній умові $\lim_{z \rightarrow \infty} \varphi_{GaAs}(z) = 0$, де $\varphi_{GaAs}(z)$ – скалярний потенціал електричного поля, що виникає на границі контактуючих напівпровідників.

Тоді

$$n^{(2)} = n_0^{(2)} + \frac{m_e^*}{\pi \hbar^2} \cdot (E_0 - E) \quad (15)$$

Внаслідок еквівалентних перетворень для $\sum_k |F_{k_z}(z)|^2$ отримаємо

$$\sum_k |F_{k_z}(z)|^2 = \frac{V}{(2\pi)^2} \frac{4\pi^2}{a_x a_y} \int_{-\frac{\pi}{a}}^{\frac{\pi}{a}} \left[e^{2qz} + 2 \frac{ch(qd) \cos(k_z d) - 1}{ch(qd) - \cos(k_z d)} + B \cdot e^{-2qz} \right] \times \frac{A_{k_z}^2}{N_{SL}} dk_z \quad (16)$$

де $a \equiv a_z$, $B = \frac{(ch(qd) \cos(k_z d) - 1)^2 + \sin(k_z d) sh(qd)}{(ch(qd) - \cos(k_z d))^2}$.

Після спрощень одержимо:

$$\sum_k |F_{k_z}(z)|^2 = \frac{a}{2\pi} \left[\frac{2\pi}{a} + (ch(2qz) - \frac{sh(qd)}{qd}) \cdot Int \right] \quad (17)$$

Де позначено $Int = \int_{-\frac{\pi}{a}}^{\frac{\pi}{a}} \left(\frac{1}{\frac{sh(qd)}{qd} + \frac{ch(qd) \cos(k_z d) - 1}{ch(qd) - \cos(k_z d)}} \right) dk_z$.

Даний визначений інтеграл знаходиться аналітично і отримуємо такий вираз :

$$Int = \frac{2q}{sh(qd) - qd} \left\{ \frac{1 - M}{1 - N} \left[\frac{\pi d}{a} \right] + \frac{M - N}{1 - N} \cdot \frac{1}{\sqrt{N}} \cdot 2 \cdot \arctg \left(\frac{tg(\pi d / 2a)}{\sqrt{N}} \right) \right\},$$

де $M = th^2 \frac{qd}{2}$, $N = \frac{sh(qd) + qd}{sh(qd) - qd} th^2 \frac{qd}{2}$.

Отже, ми отримали залежність концентрації

$$n(z) = n^{(2)} \cdot \frac{a}{2\pi} \left[\frac{2\pi}{a} + (ch(2qz) - \frac{sh(qd)}{qd}) \cdot Int \right] \quad (18)$$

Перерозподіл концентрації зумовлений напруженою гетеромежею, буде

$$\Delta n(z) = n(z) - n_0 = n^{(2)} \cdot \frac{a}{2\pi} \cdot (ch(2qz) - \frac{sh(qd)}{qd}) \cdot Int \quad (19)$$

Числові розрахунки. Для розрахунків ми використовували такі значення параметрів [9] (табл. 1):

Таблиця 1

Значення параметрів, використаних при розрахунках

Параметри Si	Параметри GaAs
$a^{Si} = 5.43 \text{ \AA}$	$a^{GaAs} = 5.65 \text{ \AA}$
$a_c^{Si} = 1.98 \text{ eV}$	$a_c^{GaAs} = -7.17 \text{ eV}$
$E_c^{Si} = -5.86 \text{ eV}$	$E_c^{GaAs} = -5.4 \text{ eV}$
$E_v^{Si} = -7.03 \text{ eV}$	$E_v^{GaAs} = -6.92 \text{ eV}$
$m_e^{*Si}/m_0 = 0.26$	$m_e^{*GaAs}/m_0 = 0.07$
$N_c^{Si} = 2.8 \cdot 10^{19} \text{ cm}^{-3}$	$N_c^{GaAs} = 1.02 \cdot 10^{19} \text{ cm}^{-3}$
$N_v^{Si} = 4.7 \cdot 10^{17} \text{ cm}^{-3}$	$N_v^{GaAs} = 7.0 \cdot 10^{18} \text{ cm}^{-3}$

Розрахунок рівноважної концентрації та енергії Фермі проведений при температурі $T = 300\text{K}$. За формулами (13), (14) ми отримали $n_0 = 4.08 \cdot 10^{14} \text{ cm}^{-3}$, $F = -6.15\text{eV}$. Власне значення енергії ε_e та параметр деформації $\varepsilon_{mech}^{GaAs}$ брали таким, що дорівнюють: $\varepsilon_e = -0.005\text{eV}$ та $\varepsilon_{mech}^{GaAs} = -0.001$ [9]. Результати розрахунків перерозподілу концентрації показано на графічних залежностях – рис. 1-3.

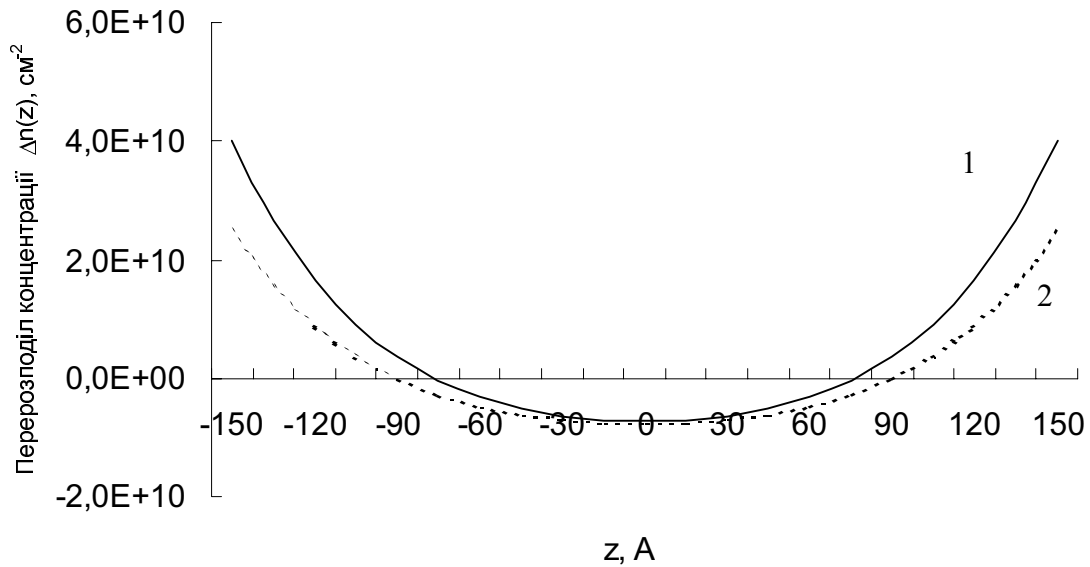


Рис. 1. Перерозподіл концентрації $\Delta n(z)$ в Si-ямі гетероструктури GaAs-Si(δ) при $d=250 \text{ \AA}$ для $L_w=5 \text{ \AA}$ (1) та для $L_w=10 \text{ \AA}$ (2)

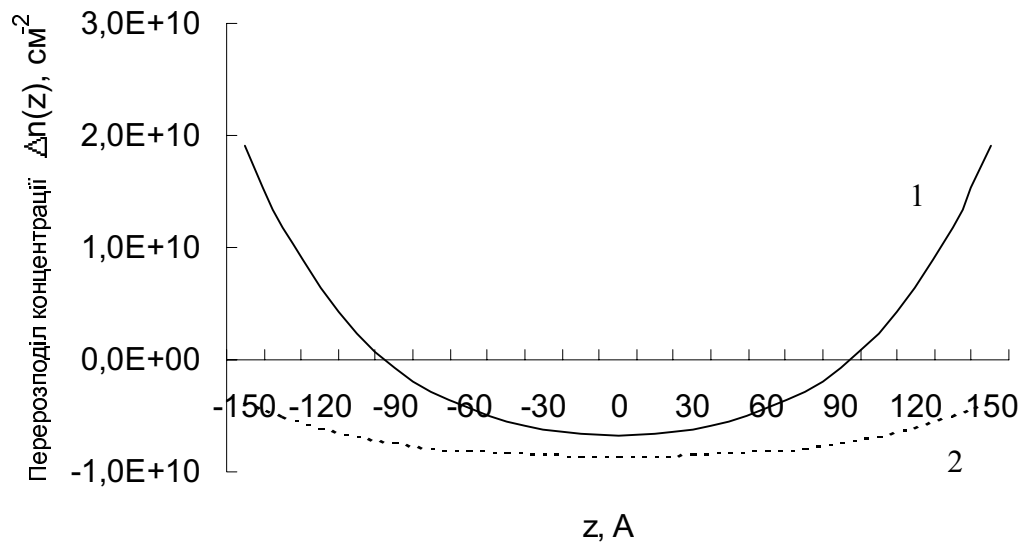


Рис. 2. Перерозподіл концентрації $\Delta n(z)$ в Si-ямі гетероструктури GaAs-Si(δ) при $L_w=5 \text{ \AA}$ для $d=250 \text{ \AA}$ (1) та для $d=300 \text{ \AA}$ (2).

Обговорення результатів Вигляд кривої $n(z)$ згідно з (18) задає множник, що містить $ch(2qz)$. Фізично таку залежність можна пояснити, врахувавши механіко-деформаційні ефекти на межі гетеророзподілу. У приконтактній області матриця GaAs стискується, а Si розширюється [9], що спричинює “зменшення” заряду в Si-ямі.

У нашій задачі вплив деформації на властивості досліджуваної гетероструктури визначає потужність деформаційного δ -потенціалу. Вплив параметрів надгратки на розподіл концентрації зумовлений тим, що потужність деформаційного δ -потенціалу більша при більшому параметрі надгратки [9].

Пункт 5 висновків відображає закон збереження заряду, бо величина $\Delta n(z)$ характеризує надлишок заряду по відношенню до рівноважної концентрації. Збіднення в центрі δ -шару компенсується надлишком заряду на гетеромежі. З врахуванням періодичності перерозподіл електронної густини матиме вигляд (рис. 3).

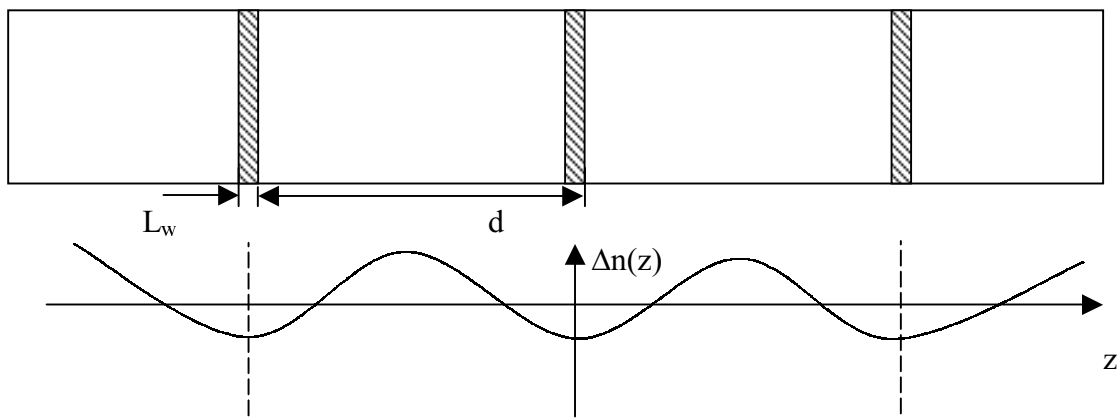


Рис. 3. Перерозподіл електронної густини з врахуванням періодичності надгратки

Висновки. Аналіз розв’язку задачі дає змогу дійти таких висновків:

1. У центрі δ -шару – збіднена область, оскільки концентрація там приймає найменше значення.
2. Глибина модуляції концентрації, тобто різниця між максимальною і мінімальною величиною, має великі величини в структурах з меншим періодом надгратки та меншою товщиною δ -шару.
3. Для матеріалу δ -шару концентрація електронів найбільша на гетеромежі.
4. Концентрація зменшується з зростанням періоду надгратки та товщини δ -шару (рис. 1, 2).

5. З вигляду періодичної залежності $\Delta n(z)$ якісно можна помітити, що
$$\int_{-\frac{d}{2}}^{\frac{d}{2}} \Delta n(z) dz = 0.$$

1. Шик А.Я. Полупроводниковые структуры с δ -слоями. // ФТП. – 1992. – т. 26, № 12. – С. 1161 – 1179.

2. Галиев Г.Б., Мокеров В.Г. Исследования электрофизических и оптических свойств δ -легированных кремнием слоев, выращенных методом МЛЭ на разориентированных в направлении [211] поверхностях (111) GaAs. // ФТП. – 2001. – т. 35, № 4. – С. 421–426.

3. Г.Б. Галиев, В.Г. Мокеров, Э.Р. Ляпин, В.В. Сарайкин, Ю.В. Хабаров // ФТП. – 2001. – Т. 35. – С. 421.

4. В.И. Кадушкин, Е.Л. Шанина. // ФТП. – 1996. – т. 30. – С. 1676.
5. Ю.Ю. Бачеріков, Б.Д. Нечипорук, О.Б. Охріменко // УФЖ.– 1998.– Т.43.– С. 329.
6. В.В. Осипов, А.Ю. Селяков // ФТП. – 1998. – т. 32. – С. 221.
7. В.В. Осипов, А.Ю. Селяков // ФТП. – 1999. – т. 33. – С. 101.
8. Ю.А. Тхорык, Л.С. Хазан. Пластическая деформация и дислокации несоответствия в гетероэпитаксиальных системах. – К.: Наукова думка, 1983. –С. 304.
9. Рудницький С.В., Пелещак Р.М. Спектри носіїв δ -легованих кремнієм шарів GaAs (100). // Вісн. Нац. ун-ту “Львівська політехніка”. – 2001. – № 430. – С. 77-83.
10. Херман М. Полупроводниковые сверхрешетки. – М., 1989. – 240 С.

УДК 537.311.322

- Сиротюк С.В.¹⁾, Кинаш Ю.Є.¹⁾, Краєвський С.Н.²⁾
¹⁾ Національний університет “Львівська політехніка”,
 кафедра напівпровідникової електроніки,
²⁾ Український державний лісотехнічний університет

РОЗРАХУНОК МАТРИЦІ ПОТЕНЦІАЛУ СПІН-ОРБІТАЛЬНОЇ ВЗАЄМОДІЇ НА ОСНОВІ ЗМІШАНОГО БАЗИСУ В НАПІВПРОВІДНИКОВИХ КРИСТАЛАХ

© Сиротюк С.В.¹⁾, Кинаш Ю.Є.¹⁾, Краєвський С.Н.,²⁾ 2003

S.V. Syrotyuk, Yu.E. Kynash, S.N. Kraevsky

THE EVALUATION OF MATRIX OF THE SPIN-ORBITAL INTERACTION POTENTIAL ON MIXED BASIS IN SEMICONDUCTOR CRYSTALS

Syrotyuk S.V., Kynash Yu.E., Kraevsky S.N., 2003

Виведені розрахункові алгоритми матриці потенціалу спіно-орбітальної взаємодії для кристалів зі складними елементарними комірками у змішаному базисі одночастинкових станів, що складається з функцій Блоха атомних серцевин і плоских хвиль. Порівняні методики введення потенціалу спіно-орбітальної взаємодії у підходах атомного апріорного псевдопотенціалу та в змішаному базисі. Стверджується послідовніший характер розрахунку потенціалу спіно-орбітальної взаємодії у методи змішаного базису, порівняно з псевдопотенціальним наближенням.

The algorithms of the spin-orbital interaction matrix have been derived for crystals with complex structure within the mixed basis of one-particle states, including core Bloch states and plane waves. The comparison of methods of the spin-orbital interaction potential inclusion, derived within *ab initio* atomic pseudopotential approach and with mixed basis has been made. The much consecutiveness of the mixed basis approach in spin-orbital interaction potential evaluation has been stated as compared to pseudopotential approximation.

Вступ. Відомо, що параметр спіно-орбітального розщеплення Δ_0 дорівнює 0,006 eВ у алмазі, 0,29 eВ у Ge, 0,48 eВ у Sn, 0,80 eВ у GaSb і 0,93 eВ у ZnTe. Однак навіть у алмазі нехтування ним призведе до злиття р-зон, які формують стелю валентної зони, а отже, і до втрати інформації про стани важких і легких дірок у ній.